

## 제조 방법에 따른 $(\text{Ba}_{1-x}\text{Pb}_x)\text{TiO}_3$ 분말특성

조경화\* · 윤기현

연세대학교 요업공학과

\*대우통신(주) 반도체 사업부

(1989년 12월 19일 접수)

Characteristics of the  $(\text{Ba}_{1-x}\text{Pb}_x)\text{TiO}_3$  Powders Prepared by Various Synthesis Method

Kyung Hwa Jo\* and Ki Hyun Yoon

Dept. of Ceramic Engineering Yonsei University

\*Daewoo Telecom., Ltd., Semiconductor Section

(Received December 19, 1989)

### 요약

sol-gel 법으로 합성한  $(\text{Ba}_{1-x}\text{Pb}_x)\text{TiO}_3$  분말의 특성을 고상반응법 및 용융법 합성법으로 합성한 경우의 비교 연구하였다.

sol-gel 법으로 제조한 gel은 BET 표면적이 고상 반응법( $3.8\text{m}^2/\text{g}$ )과 용융법( $11.5\text{m}^2/\text{g}$ )의 경우보다 큰 값( $50\text{m}^2/\text{g}$ )을 보여주었다.

이로 인해 sol-gel 법으로는  $600^\circ\text{C}$ 에서 1시간 하소하므로써  $(\text{Ba}_{1-x}\text{Pb}_x)\text{TiO}_3$ 를 합성할 수 있어 고상 반응법의  $900^\circ\text{C}$ 에서 2시간과 용융법 합성법의  $800^\circ\text{C}$ 에서 6시간 하소한 경우보다 약  $200^\circ\text{C} - 300^\circ\text{C}$  낮은 온도에서 합성할 수 있었다.

### ABSTRACT

Characteristics of the sol-gel derived  $(\text{Ba}_{1-x}\text{Pb}_x)\text{TiO}_3$  powders are compared with those of powders prepared by the calcining of mixed oxides method (CMO) and molten salt synthesis method (MSS).

The sol-gel derived powder has a higher surface area ( $50\text{m}^2/\text{g}$ ) than those of CMO ( $3.8\text{m}^2/\text{g}$ ) and MSS ( $11.5\text{m}^2/\text{g}$ ) derived powders.

In the sol-gel method, the  $(\text{Ba}_{1-x}\text{Pb}_x)\text{TiO}_3$  was synthesized at  $600^\circ\text{C}$  for 1hr, indicating that this method has a crystalline temperature  $200^\circ\text{C} - 300^\circ\text{C}$  lower than those of the CMO and MSS methods.

### 1. 서 론

Perovskite 구조를 지니는 강유전체간의 고용체 또는 강유전체와 강유전체가 아닌 물질간의 고용체는 2가지 이유로 그 중요성을 지니고 있다.

이는 어떤 특별한 특성을 유지시키기 위해 두 물질의 특성을 조작하는 수단으로 쓰이고 그 조성을 변형시킴으로써 유전성의 기초적 기구를 관찰할 수 있다. 이러한 고용체에 관한 연구에서는 주로  $T_c$  (Curie 점)을 이동시키는 물질에 대한 연구가 진행되는데<sup>1)</sup>, 낮은 온도로  $T_c$ 를 이동시

하기 위해  $\text{BaTiO}_3\text{-SrTiO}_3$ 계의 고용체에 대하여 많이 연구되고 있다<sup>2)</sup>. 그러나 높은 온도로  $T_c$ 를 이동시키는 물질로는 유일하게  $\text{PbTiO}_3$ 가 있는데 그 연구는 미흡하다<sup>3)</sup>.

$\text{BaTiO}_3\text{-PbTiO}_3$ 계의 고용체는 유전성 및 암전 특성 응용체로 사용한다. 유전성 및 암전성에 영향을 미치는 인자로 열처리 조건, 조성의 변화, 출발 물질의 특성 및 기공률, 이상입자에 대한 안정도 등이 있다<sup>4)</sup>. 즉 전자용 뉴세라믹스의 전기적, 기계적 특성의 향상과 고성능화, 고기능화의 업격한 기준을 만족시키기 위해 분밀제조방법과 소결과정제어가 중요하다.

출발물질의 분밀특성으로는 분말의 입경 및 입도 분포, 활동도 및 순도 등을 들 수 있는데 이러한 특성들은 물질 특성에 적절적으로 영향을 미친다.

따라서 생성 분말의 특성의 제어, 미세 분말의 특성의 제어나 미세분말의 제조가 용이한 액상을 이용한 화학적 방법인 공침법<sup>5)</sup>, 용융염 합성법<sup>6)</sup>, 동결 전조법<sup>7)</sup>, sol-gel 법 등을 이용한 많은 연구가 이루어지고 있다. 이 중에서 도 특히 균질하고, 화학양론적 조성을 지니며, 고순도의 미세분밀제조를 가능케 하며, 유용한 유기물의 다양성으로 인해 무제한의 유연성을 제공해 주는<sup>8)</sup> 장점을 지니고 있는 sol-gel 법에 대한 연구가 활발하다<sup>9)</sup>.

sol-gel 법은 실질적으로 Dislich<sup>10)</sup>의 유리제조 연구로부터 시작되었다. 1969년 Roy<sup>11)</sup>의 silica 유리제조와 1971년 Dislich<sup>12)</sup>의 금속 알콕사이드로 부터 제조한 gel 분밀을 hot pressing 하여 borosilicate 유리를 제조함에 따라 발전 보편화하기 시작되었다. 이에 곧이어 서로 다른 alkoxide로 부터 다성분계의 산화물 제조에까지 응용하게 되어 Mazdiyasi<sup>13)</sup>등은 metal alkoxide를 사용하여 고순도의 국미립인 PLZT,  $\text{BaTiO}_3$ ,  $\text{SrZrO}_3$ 와  $\text{SrTiO}_3$  등을 제조하는 등 여러해 전부터 실제적인 기술로 개발시켰고, Saka<sup>14)</sup>는 다성분계 산화물 제조에서 비롯되는 성분 source의 편리성, 가격, 유용성을 고려하여 salt 등을 사용하였다.

sol-gel 법은 전조 gel이 높은 표면적을 지나므로, 그 표면의 활동도가 높아지고 특히 초미립 영역에서는 그 효과가 크게 되어 낮은 온도에서의 분밀 합성을 가능하게 해주는 장점을 지나므로,  $(\text{Ba}_{1-x}\text{Pb}_x)\text{TiO}_3$  고용체의 문제점이 되는 Pb의 증발과 그로인한 화학양론적 조성이 유지되기 어렵다는 점과 Pb가 낮은 용접을 지녀 Pb 량이 증가함에 따라 소결성이 저하되어 소결이 용이하지 않다는 점을 해결할 수 있다.

따라서 Pb의 손실 뿐 아니라 잘 혼합된 용액 및 sol에 의해 분자 scale에서까지도 높은 화학적 균질도를 얻을 수 있으며 일반적인 방법에서 허락되지 않는 comminution 과정을 통해 고순도의  $(\text{Ba}_{1-x}\text{Pb}_x)\text{TiO}_3$  고용체를 제조할 수 있겠다<sup>14)</sup>.

따라서 본 연구에서는 원료를 용액상으로 혼합함으로써 균질도가 높고, 일반적인 방법에서 허락되지 않는 연속과정을 통해 고순도의 물질을 만들고 높은 비 표면적을 지나므로 그 표면의 활성도가 높아지는 미립 분말을 제조하므로써 낮은 온도에서의 제조를 가능하게 해주는 장점을 지니는 sol-gel 법으로 합성한  $(\text{Ba}_{1-x}\text{Pb}_x)\text{TiO}_3$ 의 분밀특성을 고상 반응법(calcining of mixed oxides method CMO)과 용융염 합성법(moltem salt synthesis method : MSS)으로 합성한 경우와 비교 연구하여  $(\text{Ba}_{1-x}\text{Pb}_x)\text{TiO}_3$  고용체 제조에 있어서의 문제점을 해결하고 가장 합리적인 제조방법을 연구하여 전기적 특성을 향상시키고자 한다.

## 2. 실험

### 2.1 분밀 합성 및 시편제조

CMO 법과 MSS 법에서는 순도 99.5% 이상의  $\text{BaCO}_3$ ,  $\text{TiO}_2$ ,  $\text{PbO}$ 를 순도 99.9%의  $\text{Nb}_2\text{O}_5$ 와  $\text{La}_2\text{O}_3$ 를 사용하였으며, MSS 법에서는 용제로 KCl을 사용하였다. sol-gel 법에서는 Ba와 Pb의 source는 염류로 그 순도가 각각 95%, 99%인 barium acrylate와 lead acetate를, Ti source로는 alkoxide로 순도 95%인 titanium isopropoxide를 사용하였다.

sol-gel 법에 사용한 alkoxide 및 염 등은 공기 및 수분에 민감하고,  $\text{CO}_2$  free 한 분위기를 요하므로  $\text{N}_2$  분위기 하에서 처리하였다. CMO 법과 수세과정이 포함된 MSS 법은 일반적인 요업공정에 의해 분쇄, 하소, 성형, 소결을 통하여 제조하였으며, MSS 법에서 용제인 KCl 량은 총 중량에 대한 염의 중량비( $W_{\text{KCl}}/W_{\text{raw material}}$ )를 1.0으로 하였다<sup>14)</sup>.

sol-gel 법은 main batch에는 barium acrylate와 etyleneglycol을 1:4 vol%로 넣고, sub batch는 70°C에서 각각 충분히 교반 및 refluxing 시키면서 용해시켰다. 그 후 main batch에 다시 methoxyethanol을 1:4 vol%로 넣고 상온에서 barium acrylate를 완전히 용해시켰다. sub batch의 lead acetate가 완전히 용해되면 titanium

Table 1. Composition of Specimens.

No	Composition
BT	$\text{BaTiO}_3$
BP1	$(\text{Ba}_{0.8}\text{Pb}_{0.2})\text{TiO}_3$
BP2	$(\text{Ba}_{0.5}\text{Pb}_{0.5})\text{TiO}_3$
BP3	$(\text{Ba}_{0.2}\text{Pb}_{0.8})\text{TiO}_3$
PT	$\text{PbTiO}_3$

isopropoxide 를 넣고 titanium isopropoxide 에 대해 1 : 4vol%로 methoxyethanol 을 더 넣어 70°C에서 다시 고르게 교반시켜 용해시켰다. main 및 sub batch 의 물질들이 충분히 녹으면 sub batch 용액을 상온까지 서냉시켰다. 그 후 sub batch 용액을 syringe 와 dropping funnel 을 사용하여 main batch 에 dropping 시켰다. 이때 사용한 용매는 가수분해에 기여할만한 수분을 지니므로 건조처리한 후 사용하였다.

용매의 건조는  $\text{N}_2$  분위기 하에서 methoxyethanol<sup>[15]</sup>은 화학용 white silica gel (Yakuri Pure Chemical Co., Ltd, Japan)로 건조시킨 후, etyleneglycol<sup>[15]</sup>은 CaO (Junsei Chemical Co., Ltd, Japan) 및  $\text{CaSO}_4$  (Junsei Chemical Co., Ltd, Japan)로 건조시킨 후 두 용매 모두 azeotropic distillation 시켰다. main batch 의 혼합용액을 충분히 교반시킨 뒤 가수분해를 행하였다. 가수분해에는 2차 이온교환수를 사용하고 투입할 때는 이온교환수와 용매인 methoxyethanol 을 1 : 2vol%의 비로 혼합하여 투입하였다. 이때 alkoxide 에 대한 물의 비는 1 : 100으로하여 충분하고 완전한 가수분해를 시켰다.

가수분해가 충분히 진행되면 acrylic acid (Junsei Chemical Co., Ltd, Japan)를 첨가량의 임계점을 찾기 위해 그 양을 0.001mole ~ 0.08mole 까지 변화시켜면서 투입하여 peptization 을 시켰다. 그 후 gellation 을 거쳐 건조 시킨 후 분말을 제조하였다.

시편의 조성은 Table 1과 같으며 분말 제조 공정은 Fig. 1의 실험도에 나타나 있듯이 분쇄, 하소, 성형, 소결 등의 일반적인 제조 공정인 CMO 법으로 제조한 분말은 900°C에서 2시간, 하소후  $\text{Cl}^-$  을 제거하기 위해 20회 정도 수세과정을 거쳐 소결체를 제조하는 MSS 법의 경우에는 800°C에서 6시간, sol-gel 법으로 제조한 분말은 600°C에서 1시간 열처리하여 합성하였다.

이렇게 합성한 분말을 분쇄시킨 뒤 0.5wt%의 PVA 결합제를 넣어 젤 셜은 후 지름 10mm 의 원형 steel mold 에서 700kg/cm<sup>2</sup> 으로 압력으로 1차 성형 한 뒤 1500kg/cm<sup>2</sup>

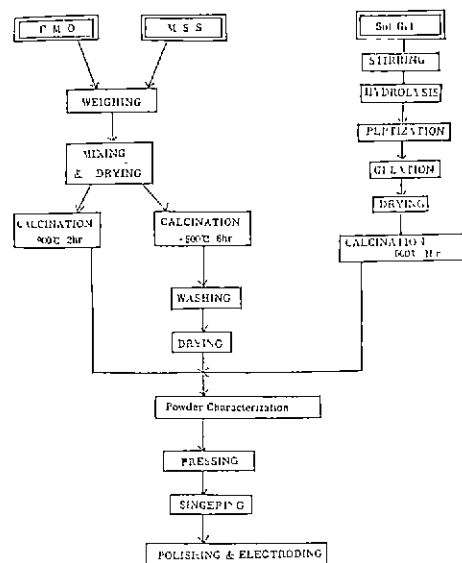


Fig. 1. Schematic diagram for powder preparation.

의 압력으로 2차 등압성형 (CIP) 을 하였다. 소결시 시편의 내장은 Pb 분위기로 소결하기 위해서 고순도 alumina 도가니를 배열하고 동일조성의 분말을 분위기 분말로 하였으며 공입용  $\text{ZrO}_2$  (Junsei Chemical Co., Japan) 분말을 사용하여 충분히 충진 밀봉시켜 분위기를 유지시켰다. 소결조건은 500°C 까지는 PVA 결합제의 제거를 위해 200°C/h 로 승온하고 500°C에서 소결 온도까지는 승온 속도를 300°C/h로 하고, 소결 온도는 유전성  $(\text{Ba}_{1-x}\text{Pb}_x)\text{TiO}_3$  고용체인 경우 1100°C ~ 1350°C의 범위에서 소결하였다. 유지시간은 30분으로 하였다. Pb의 증발을 억제하기 위해 빠른 승온속도와 짧은 유지시간을 선택하여 실험하였다. 열처리한 시편의 표면을 SiC 연마지로 (#800, 1000, 1200) 잘 연마한 후 ultrasonic cleaner 로 세척하여 사용하였다.

## 2.2 측정 및 관찰

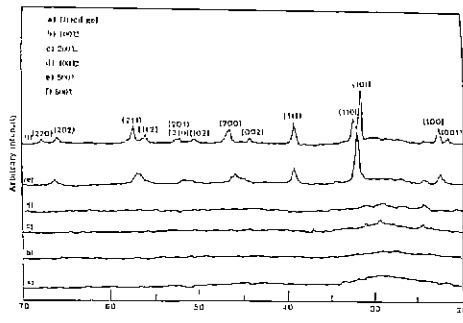
건조시료, 하소 분말 및 소결시편의 합성 여부 및 결정상의 확인 및 분석을 위해 X-선 회절분석을 사용하였고 특히 유기물의 동정과 결합 정도를 확인하기 위해 IR spectrum 법을 사용하였다. 분밀 특성은 입도분석, 표면적 측정 및 TEM 관찰을 하였다.

## 3. 결과 및 고찰

sol-gel 법으로 분말을 제조하는 과정 중의 하나인 peptization 에 있어, 사용되는 산의 양은 분밀의 크기 및

**Table 2.** Effect of Acid Concentration on the Sol Formation.

Acrylic Acid hydroxide ratio/(mole/mole)	Condition of slurry after heat treatment at 70°C
0.001	unpeptized
0.002	unpeptized
0.004	cloudy
0.006	cloudy
0.007	clear sol
0.008	clear sol
0.016	clear sol
0.024	clear sol
0.032	clear sol
0.080	clear sol

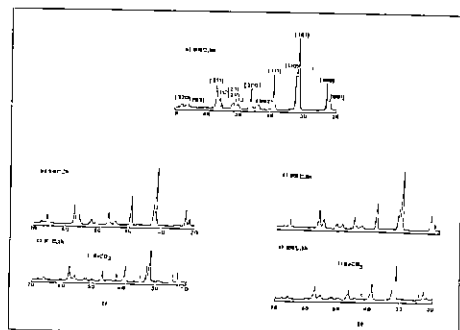


**Fig. 2.** X-ray diffraction patterns of the sol-gel derived  $(\text{Ba}_{0.5}\text{Pb}_{0.5})\text{TiO}_3$ .

형태에 큰 영향을 끼치며 결과적인 gel의 세현성도 pH보다는 소량으로 침가되는 산의 양에 민감하므로 이에 준해 산의 첨가량의 효과를 살펴보았고 그 결과는 Table 2에 나타나 있다.

Table에서 보는 바와 같이 산의 첨가량을 최저 0.007 mole을 첨가시켜야 clear sol을 형성하였으며, 0.024 mole 이상 첨가할 때는 clear sol을 얻을 수 있었으나 gellation이 일어나지 않았다. 따라서 산 첨가량의 임계범위는 0.007–0.024mole 범위였다. 또한 첨가산으로 사용된 acrylic acid는 이온화 상수가 25°C에서  $5.6 \times 10^{-5}$ 이어서 alkoxide의 metal 이온이 hydroxide를 형성하는 것을 방해할 정도는 아니므로 peptization에 사용되는 산의 조건을 만족하였다.

Fig. 2는 sol-gel 법으로 제조된  $(\text{Ba}_{0.5}\text{Pb}_{0.5})\text{TiO}_3$ 의 전



**Fig. 3.** X-ray diffraction patterns of (a) sol-gel derived (b), (c) CMO derived (d), (e) MSS derived ( $\text{Ba}_{0.2}\text{Pb}_{0.8}\text{TiO}_3$ ).

조된 gel과 각 온도에서 열처리한 시료하의 X선 회절 분석 결과를 나타낸 것으로 전조 gel은 비정질상을 나타냈다. 또한 열처리 온도가 증가할 수록 결정도는 증가하여 약 500°C에서야 비로서 결정상의 형태를 나타내고, 600°C에서 열처리 하였을 때 tetragonal form을 나타내고, 이러한 결과는 Bradley<sup>18)</sup>의 보고와 일치하였다.

Fig. 3은 CMO 법, MSS 법 및 sol-gel 법으로 제조된  $(\text{Ba}_{0.2}\text{Pb}_{0.8})\text{TiO}_3$  분말의 X선 회절 분석 결과를 나타낸 것으로 CMO 법과 MSS 법에서는 600°C에서 열처리하였을 때 미반응물인  $\text{BaCO}_3$  특성 peak가 발견되었으며, CMO 법에서는 900°C에서 2시간, MSS 법에서는 800°C에서 6시간 열처리한 후 비로서 합성됨을 볼 수 있다.

sol-gel 법에 의해 제조된 분말의 경우는 600°C에서 결정성이 양호하게 나타나, sol-gel 법으로 제조한 경우 CMO 법과 MSS 법보다 200–300°C 정도 낮은 온도에서 합성됨을 알 수 있다.

Fig. 4는 각 조성에 따른 sol-gel 법으로 제조된 분말의 X선 회절 분석 결과를 나타낸 것으로 Pb의 치환량이 증가할 수록 peak의 split 현상으로 tetragonality가 증가함을 예측할 수 있다. 이는 JCPDS<sup>17,18)</sup>에 기준하여 계산된 tetragonality(c/a)는  $\text{PbTiO}_3$ 인 경우 1.0652<sup>17)</sup>,  $\text{BaTiO}_3$ 인 경우 1.0110<sup>18)</sup>으로 보아 Pb 탕이 증가함에 따라 tetragonality가 증가한다고 할 수 있겠다.

sol-gel 법에서는 특히 유기물을 많이 사용하므로 더욱 정확한 유기물 동정을 관찰하기 위하여 sol-gel 법에 의해 제조된  $(\text{Ba}_{0.5}\text{Pb}_{0.5})\text{TiO}_3$ 를 열처리 온도를 각각 달리한 적외선 흡수 spectrum 법에 의해 분석하였고, 그 결과는 Fig. 5에 나타나 있다. 각 온도 조건에서 peak2(=3450

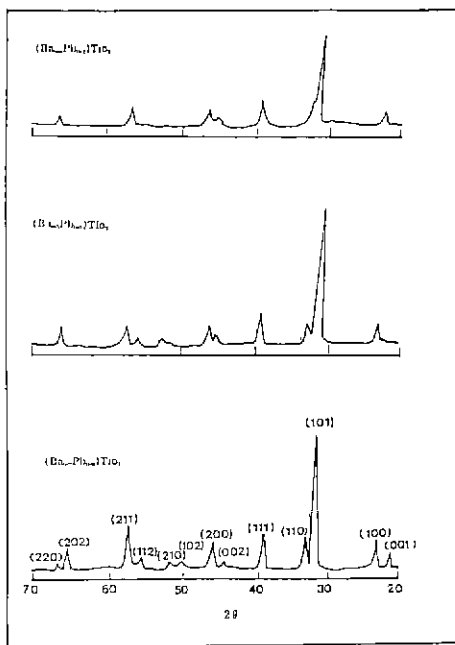


Fig. 4. X-ray diffraction patterns of sol-gel derived  $(Ba, Pb)TiO_3$ .

$\text{cm}^{-1}$ )은  $-O-O-H$  즉 hydrogen의 신축진동을 나타내며, 열처리 온도가 증가되는 과정에서 peak 1의 intensity는 감소하여 600°C에서 열처리한 경우에 완전히 제거됨을 알 수 있다.

각 온도 조건에서 peak 2( $=1600\text{cm}^{-1}$ )과 peak 3( $=1000\text{cm}^{-1}$ )은 신축진동으로는(stretching vibration) 단일 C결합이  $1000\text{cm}^{-1}$  부근에 나타나고 다중 결합성이 증가하면 분자의 진동이 강해지므로 이중 C결합이  $1650\text{cm}^{-1}$  부근에서 나타나며,  $1600\text{cm}^{-1}$ 이하인 저 주파쪽에서의 변각 진동을(deformation vibration) 고려할 때 C-H 변각 진동이라 할 수 있다.

peak 2와 peak 3도 열처리 온도가 증가할 수록 저 주파쪽으로 이동하면서 peak intensity가 감소함을 볼 수 있고 이는 유기물이 제거됨을 나타낸다.

결합에너지와 진동수의 관계를 살펴보면,

$$\nu = \frac{1}{2\pi} \cdot \sqrt{\frac{k}{u}}$$

$$E = \frac{1}{2} kx^2$$

$\nu$ : 진동수( $\text{cm}^{-1}$ ),  $u$ :  $(m_A \times m_B) / (m_A + m_B)$ ,  $k$ : force

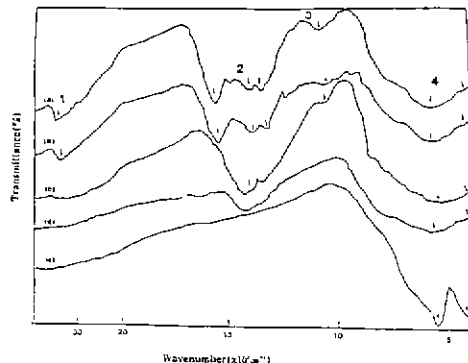


Fig. 5. Infrared transmission of  $(Ba_{0.5}Pb_{0.5})TiO_3$  calcined at various temperature : (a) dried gd (b)  $100^\circ\text{C}$  (c)  $400^\circ\text{C}$  (d)  $500^\circ\text{C}$  (e)  $600^\circ\text{C}$ .

constant,  $x$  : 두 원자 A, B 간의 거리이며 위의 식에 따라 진동수가 증가되면 force constant가 증가되고, 이 원자 분자의 진동은 2개의 구체간의 용수철이라 할 때 Hook의 법칙을 적용시켜 보면 분자간의 energy를 유출할 수 있게 되는데 분자간의 에너지와 force constant는 비례 관계에 놓이므로 에너지 또한 증가하게 된다. 이에 준해 peak 1-3는 열처리 온도가 증가하면서 peak의 intensity도 감소하지만, 그 위치도 점차 저 주파쪽으로 이동하는 것을 볼 수 있는데 이는 제거되면서 점차 그 내부력이 약화됨을 나타낸다.

peak 4는  $(Ba_{1-x}Pb_x)TiO_3$  고용체의 비금속 부근의 peak를 나타내는 것으로  $BaTiO_3$ 의 고유 peak인  $530\text{cm}^{-1}$ ,  $400\text{cm}^{-1}$ 과  $PbTiO_3$ 의 고유 peak인  $580\text{cm}^{-1}$ ,  $400\text{cm}^{-1}$ 의 중간 부분에서 나타났다. peak 4는 열처리가 진행될 수록 broad한 상태에서 sharp하게 분리되는 것을 볼 수 있다.

이러한 현상은 기본 진동을 하는 분자에 그 기본 진동과 동일한 진동수를 지닌 적외선을 쪼면 이 분자는 적외선 에너지를 흡수하고 그 본래의 기본 진동의 진폭이 증가하고 들뜬 상태가 된다. 이때 bond의 상태가 확실할 때는 peak가 sharp하게 나타나지만 비정질 상태에서는 오히려 broad한 peak가 나타나게 된다. 즉 peak가 동일 범위에서 잘 나타나는 것은 그만큼 결정성이 증가되었다고 볼 수 있다. 즉 열처리 온도가 증가함에 따라 hydrogen bond 및 각 유기물의 peak intensity가 감소하면서 저주파로 이동하여 제거되고 있음을 알 수 있고, peak 4는 점차 sharp하게 나타나 뚜렷한 상의 합성을 나타낼 수 있다.

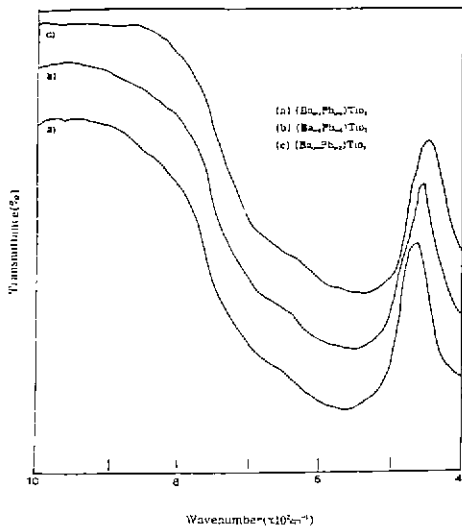


Fig. 6. Infrared transmission of the sol-gel derived  $(\text{Ba}, \text{Pb})\text{TiO}_3$  calcined at  $600^\circ\text{C}$  for 1 hr.

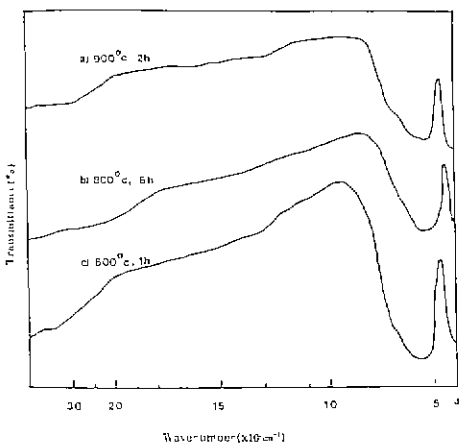


Fig. 7. Infrared transmission of (a) CMO, (b) MSS, (c) sol-gel derived  $(\text{Ba}_{0.2}\text{Pb}_{0.8})\text{TiO}_3$ .

Fig. 6은 각 조성당 sol-gel 법으로 제조되고  $600^\circ\text{C}$ 에서 열처리한 분말의 적외선 흡수 spectrum 분석 결과인데,  $\text{PbTiO}_3$ 의 고유 peak  $580\text{cm}^{-1}$ 와  $400\text{cm}^{-1}$ ,  $\text{BaTiO}_3$ 의 고유 peak인  $530\text{cm}^{-1}$ 과  $400\text{cm}^{-1}$ 의 중간 부분에서  $(\text{Ba}_{0.8}\text{Pb}_{0.2})\text{TiO}_3$ ,  $(\text{Ba}_{0.5}\text{Pb}_{0.5})\text{TiO}_3$ ,  $(\text{Ba}_{0.2}\text{Pb}_{0.8})\text{TiO}_3$  고용체의 특성 peak가 각각 계산치로는  $540\text{cm}^{-1}$ ,  $555\text{cm}^{-1}$ ,  $570\text{cm}^{-1}$ 과 각  $400\text{cm}^{-1}$ 에 나타났다. 이렇게  $\text{Pb}$  치환량이 증가할수록  $\text{PbTiO}_3$  고유 peak에 가깝게 나타남을 알 수 있다.

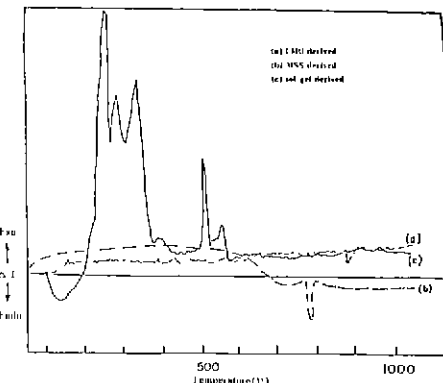


Fig. 8. Differential thermal analysis curved of  $(\text{Ba}_{0.2}\text{Pb}_{0.8})\text{TiO}_3$

Fig. 7은 제조 방법에 따른  $(\text{Ba}_{0.2}\text{Pb}_{0.8})\text{TiO}_3$ 의 적외선 흡수 spectrum 분석 결과인데 CMO 법에서는  $900^\circ\text{C}$ 에서 2시간, MSS 법에서는  $800^\circ\text{C}$ 에서 6시간, sol-gel 법에서는  $600^\circ\text{C}$ 에서 1시간 열처리 한 후 각각 고용체의 고유 peak가 sharp하게 나타나 합성되었음을 알 수 있다. 이는 앞의 X-선 회절 분석 결과와 잘 일치됨을 알 수 있다.

각 제조 방법에 따라 온도를 연속적으로 상승시키면서 온도의 함수로 시료의 반응상태의 변화를 보기 위하여 열중탕법 및 시차 열분석법을 사용하여 관찰하고 그 결과 중 DTA 곡선이 Fig. 8에 있다.

sol-gel 법에 의해 제조된 시료의 DTA 곡선은  $100^\circ\text{C}$ – $130^\circ\text{C}$  부근에서 탈수작용으로 인한 흡열 peak를,  $200^\circ\text{C}$ – $400^\circ\text{C}$ 에 걸쳐 유기물 휘발을 나타내는 발열 peak가 나타났다. CMO 법으로 제조된 시료의 DTA 곡선은  $900^\circ\text{C}$ 부근에서 출발물질의 분해 및 고용체 형성을 나타내는 분해 흡열 peak가 나타났다. MSS 법으로 제조된 시료의 DTA 곡선에서도  $750^\circ\text{C}$ – $800^\circ\text{C}$  부근에서 CMO와 같은 출발물질의 분해 및 고용체 형성을 나타내는 분해 흡열 peak가 나타났다. 이를 좀더 확실히 보기 위한 TGA 곡선은 Fig 9에 나타나 있다. TGA 곡선을 살펴보면 sd-gel 법으로 제조된 시료는 A에서 B까지 안정하고 중량 변화가 없다. B에서부터 시료의 중량감소가 시작되다가 C에서 변화과정을 완료하는데 이 최초의 감량은 탈수반응에 의한 것으로 여겨지며 C를 변곡점으로 해서 D까지 극심한 중량변화를 나타내는데 이는 DTA 곡선에서 볼 수 있듯이 유기물의 증발로 인해 발생된다고 하겠다. CMO 법에 의해 제조된 시료의 TGA 곡선에서는 EF'에서 DTA 곡선에 나타났듯이 분해 및 고용체 형성에 의해 급

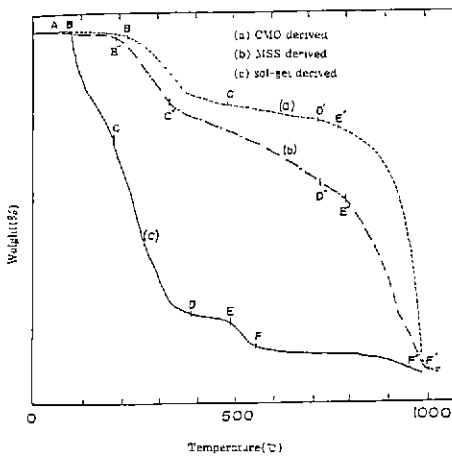
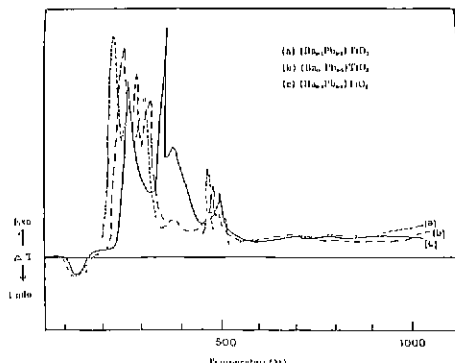
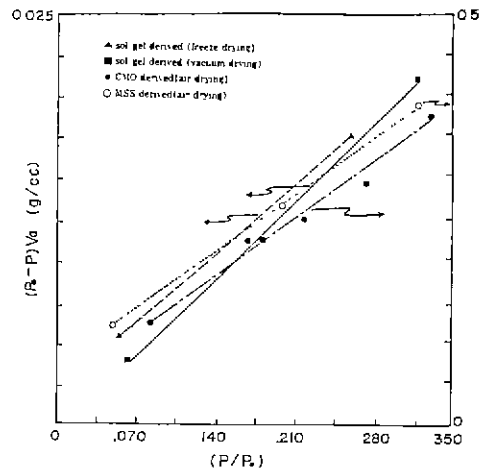
Fig. 9. Thermogravimetry curve of  $(\text{Ba}_{0.2}\text{Pb}_{0.8})\text{TiO}_3$ .

Fig. 10. Differential thermal analysis curve of sol-gel derived powder.

격한  $\text{CO}_2$ 의 분리 및 휘발에 의해 많은 양의 중량 감소를 나타냈다. MSS 법에 의해 제조된 시료의 TGA 곡선도 E''에서 출발 탄화물의 분해에 따른 고용체 형성에 의한 중량감소를 나타냈다.

Fig. 10은 sol-gel 법으로 제조된 시료의 각 조성 분말의 DTA 곡선을 나타냈다. 이 곡선에서  $100^\circ\text{C} - 130^\circ\text{C}$ 의 탈수에 의한 흡열 peak 및  $200^\circ\text{C} - 400^\circ\text{C}$ 에 걸친 유기물 휘발에 의한 발열 peak는 공통으로 나타났으며 Pb 량이 많아 질수록 분말이 합성되는 결정화 peak가 저온에서 나타남을 알 수 있다.

X-선 화질 분석, IR, DTA의 결과에서 알 수 있듯이 sol-gel 법에 의해 제조된 분말이 CMO 법으로 제조된 분말보다  $300^\circ\text{C}$ , MSS 법으로 제조된 분말보다  $200^\circ\text{C}$  낮은 온도에서 제조됨을 알 수 있다. 이러한 저온합성은 분말

Fig. 11. BET plot for  $(\text{Ba}_{0.2}\text{Pb}_{0.8})\text{TiO}_3$ .

의 표면활성도가 높아짐에 따라 비롯된다고 할 수 있다.

Nomura<sup>19)</sup>는 비 표면적 값이 증가하여 분말 사이의 접촉면이 증가되는 효과로 그 활성화 에너지는 감소하게 됐다고 하였다.

Fig 11은 제조방법에 따른 분말의 BET plot을 나타낸 것이다.

BET(Brunauer, Emmett & Teller)법에 의한 표면적은 기본적으로 Langmuir model을 각 흡착층에 적용시키면서 표면에너지는 균등히 분포되며 노출층에서 흡착과 탈착이 일어난다는 가정 하에 사용된다. Langmuir theory가 잘 적용되는 압력비( $p/p_0$ )가 0.035 이상 0.35 이하 범위에서 BET plot은 BET식

$$\frac{1}{W((P/P_0)-1)} = \frac{1}{WmC} + \frac{C-1}{WmC} \left( \frac{P}{P_0} \right)$$

$W$  : 흡착된 질량

$W_m$  : monolayer에 흡착된 질량

$C$  : BET 상수

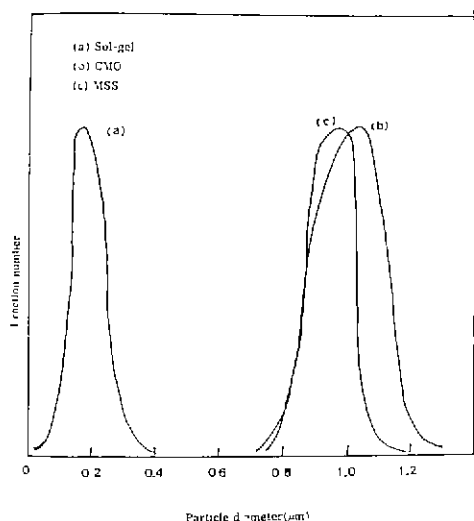
$P, P_0$  압력

에서  $(W/(P/P_0)-1)^{-1}$ 과  $P/P_0$ 의 관계를 나타낸 것으로 Fig 11에 나타난 그림의 경우 모두 직선으로 나타남을 볼 수 있고 이로서 모든 경우 BET 법의 가정을 적용시킬 수 있음을 알 수 있다.

Table 3는 제조방법에 따른 분말의 비표면적을 나타낸 것인데 sol-gel 법으로 제조된 시료가 CMO 법과 MSS 법으로 제조된 시료보다 높은 값을 지니는데 일반적으로 입자가 작을 수록 표면적은 증가한다.

**Table 3.** BET Value (Surface area) for  $(\text{Ba}_{0.2}\text{Pb}_{0.8})\text{TiO}_3$

Synthesis Method	CMOMSS		Sol-Gel						
	Air Dry ing	Air Dry ing	Dried gel			Calcined powder			
			Air Dry ing	Vacuum Dry ing	Fre eze Dry ing	Ref.	This Work	Ref.	
Surface Area ( $\text{m}^2/\text{g}$ )	3.8	11.7	36.4	51.9	54.6	50.0	19.9	15.0	6.2 -16.8



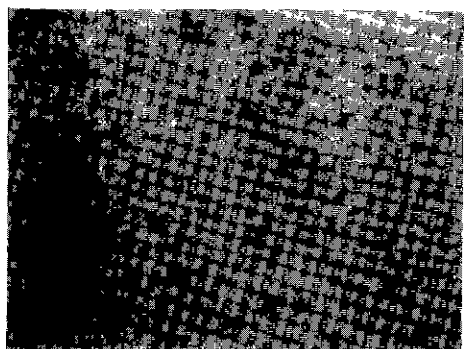
**Fig. 12.** Particle size distributions  $(\text{Ba}_{0.2}\text{Pb}_{0.8})\text{TiO}_3$ .

Fig. 12는 각 제조 방법에 따른 입도 분포를 나타낸 것이다.

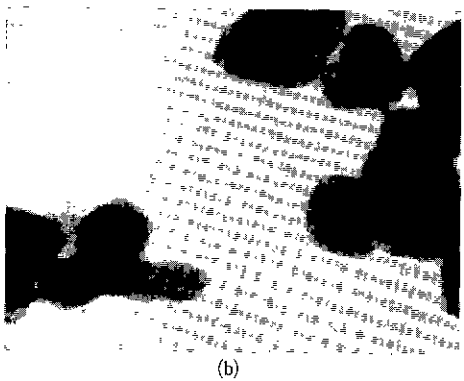
sol-gel 법의 경우 입도 범위는 좁고 mean diameter는  $150\text{ \AA}$ 으로 낮은 값을 나타내어 작고 균일한 입자가 형성됨을 알 수 있다.

CMO 법과 MSS 법으로 제조한 분말의 각각 mean diameter가  $1.80\mu\text{m}$ ,  $0.93\mu\text{m}$ 의 값을 나타내고 sol-gel 법보다는 broad한 분포를 보이는 것을 알 수 있다.

Fig. 13은 sol-gel 법으로 제조한 건조 gel과 하소후 분말의 TEM 사진으로 건조 gel은  $20\text{ \AA}$  이하의 입자 크기를 나타내고, 하소 후 분말은  $150\text{ \AA}$  정도로 Mazdiyasni<sup>13)</sup>의 건조 gel의 크기인  $50\text{ \AA}$ 보다 작은 크기의 입자를 나타내고, 하소후 분말크기에 대한 Rehspringer<sup>20)</sup>의  $280\text{ \AA}$ 의 입자크기보다 낮은 값을 나타냈다.



(a)



(b)

**Fig. 13.** TEM photographs for sol-gel derived  $(\text{Ba}_{0.2}\text{Pb}_{0.8})\text{TiO}_3$  (a) dried gel (b) calcined powder (bar =  $1\mu\text{m}$ ).

sol-gel 법으로 제조된 건조 gel은 본 연구의 salt와 alkoxide를 사용한 시료를 건조할 때 그 건조 방법에 따라 공기중 건조일 때  $36.4\text{m}^2/\text{g}$ , 진공 건조했을 때는  $51.9\text{m}^2/\text{g}$ , 동결 건조했을 때는  $54.6\text{m}^2/\text{g}$ 으로 동결 건조로 얻은 분말이 가장 높은 값을 나타냈으며 이는 alkoxide만으로 제조한 시료를 진공 건조해서 얻은 Mazdiyasni<sup>13)</sup>의 결과인  $50.0\text{m}^2/\text{g}$ 과 거의 비슷한 값을 나타낼 수 있다. 또한  $600^\circ\text{C}$ 에서 열처리해서 합성한 분말의 비 표면적 값을 살펴보면 본 실험에서 제조한 분말은  $19.9\text{m}^2/\text{g}$ 으로 alkoxide만 사용한 Mazdiyasni<sup>13)</sup>, Rehspringer<sup>20)</sup>의 15 및  $16.8\text{m}^2/\text{g}$ 보다 높은 값을 지님을 알 수 있다.

sol-gel 법으로 제조된 분말이 비표면적이 높아 그 활동도가 커지고 따라서 그 반응성이 좋아져 저온에서도 합성을 가능하게 해주므로 X-선 회절 분석 결과 및 IR 분석 결과를 잘 뒷받침하고 있다.

#### 4. 결 론

- 1) sol-gel 법의 경우 acrylic acid를 사용한 peptization이 가능한 임계 범위는 alkoxide 몰당 0.007 mole 이상 0.024mole 이하이다.
- 2) sol-gel 법으로 제조된 gel은 열처리 온도를 증가할 수록 hydrogen 결합 및 각 유기물 등의 결합이 약해지면서 탈수 작용 및 유기물이 제거되었다.
- 3) sol-gel 법으로 제조된 gel은 BET 표면적이 고상반응법( $3.8\text{m}^2/\text{g}$ )과 용융염 합성법( $11.5\text{m}^2/\text{g}$ )의 경우보다 큰 값( $50\text{m}^2/\text{g}$ )을 보여주었다.
- 4) sol-gel 법으로 제조된 분말은 CMO 법과 MSS 법으로 제조한 경우보다 입도 범위도 좁고 mean diameter는  $150\text{\AA}$ 으로 낮은 값을 나타냈다.

5) sol-gel 법으로는  $600^\circ\text{C}$ 에서 1시간 하소하므로써  $(\text{Ba}_{1-x}\text{Pb}_x)\text{TiO}_3$ 를 합성할 수 있어 고상 반응법의  $900^\circ\text{C}$ 에서 2시간과 용융염 합성법의  $800^\circ\text{C}$ 에서 6시간 하소한 경우 보다 약  $200^\circ\text{C} - 300^\circ\text{C}$  낮은 온도에서 합성할 수 있다.

#### 「감사의 글」

본 연구는 한국과학재단 연구비 지원에 의하여 이루어진 것으로 이에 감사드립니다.

#### REFERENCES

1. D. Drexler and B.R. Schat, *Science of Ceramics Vol II*, 239 Academic Press (1961).
2. D. Kolar, M. Trontelj and Z. Stadler, "Influence of Interdiffusion on Solid Solution Formation and Sintering in the System  $\text{BaTiO}_3\text{-SrTiO}_3$ ", *J. Am. Ceram. Soc.*, **65** (10) 470 (1982).
3. F. Jona and G. Shirane, *Ferroelectric Crystals*, 235 Pergamon Press Ltd. (1962).
4. L. Egerton and S.E. Koonce, "Effect of Firing Cycle on Structure and some Dielectric and Piezoelectric Properties of  $\text{BaTiO}_3$  Ceramics", *J. Am. Ceram. Soc.*, **38** 412 (1955).
5. P.L. Lin, A.D. Pelton and C.W. Bale, "Computation of Ternary Molten Salt Phase Diagrams", *J. Am. Ceram. Soc.*, **62** 111 (1979).
6. K.H. Yoon, K.Y. Oh and S.O. Yoon, "Influence of Synthesis Methods of the PTCR Effect in Semiconductive  $\text{BaTiO}_3$ ", *Mat. Res. Bull.*, **21** 1429 (1986).
7. J. Wenzel, "Trends in Sol-Gel Processing: Tiward 2004", *J. Non-cry. Solids* **73** 693 (1985).
8. S. Sakka, "Sol-Gel Synthesis of Glasses: Present and Future", *Am. Ceram. Soc. Bull.*, **64** (11) 1463 (1985).
9. K.H. Jo and K.H. Yoon, "Preparation of Sol-Gel Derived  $(\text{Ba}_{0.2}\text{Pb}_{0.8})\text{TiO}_3$  Powders", *Mat. Res. Bull.*, **24** 1 (1989).
10. H. Dislich, "Sol-Gel 1984-2004(?)", Int. Symp. on Sci and Tech of Glasses, Vienna, July (1984).
11. R. Roy, "Gel Route to Homogeneous Glass Preparation", *J. Am. Ceram. Soc.*, **52** (6) 344 (1969).
12. H. Dislich, "A New Route to Multicomponent Oxide Glasses", *Angew. Chem. Int. Ed. Engl.*, **10** 363 (1971).
13. K.S. Mazdiyasni, R.T. Dolloff and J.S. Smith II, "Preparation of High Purity Submicron Barium Titanate Powders", *J. Am. Ceram. Soc.*, **52** (10) 523 (1969).
14. L.M. Brown and K.S. Mazdiyasni, "Cold Pressing and Low-Temperature Sintering of Alkoxide-Derived PLZT", *J. Am. Ceram. Soc.*, **55** (11) 541 (1972).
15. D.D. Perrin, W.L.F. Armarego and D.R. Perrin, *Purification of Laboratory Chemicals* Pergamon Press (1980).
16. F.N. Bradley, "Diffraction Line Shifts Observed in Fine-Grained Barium Titanate" *J. Am. Ceram. Soc.*, **51** (5) 293 (1968).
17. JCPDS 6-042
18. JCPDS 5-0626
19. S. Nomura, "Solid State Reaction between Barium Titanate and Strontium Titanate", *J. Phys. Soc. Jap.*, **11** (9) 924 (1956).
20. J.I. Rehspringer and J.C. Bernier, "Chemical Processing of  $\text{BaTiO}_3$  Based Ceramics", *Bat. Res. Soc. Symp. Pro.*, **12** 67 (1986).